



ISSN 2345 - 4997

Available online at: www.geo-dynamica.com

Vol. (I)- No. 01- Fall 2013  
3<sup>rd</sup> Article- P. 25 to 37**GRIB***Geodynamics Research  
International Bulletin*

# The Impact of Different Orogenic Phases on Deformation and Metamorphism of Volcano-Sedimentary Rocks in the Almabulage Complex (NW of Iran)

Mahbubeh Jamshidi Badr

Department of Geology, Payam Noor University, Tehran, Iran.

m\_jamshidi@pnu.ac.ir

**Article History:**  
Revised: Dec. 14, 2013Received: Dec. 09, 2013  
Accepted: Dec. 15, 2013Reviewed: Dec. 12, 2013  
Published: Dec. 16, 2013**ABSTRACT**

Almabulage complex with volcano-sedimentary rocks that have been affected by three metamorphism phases are outcropped in northwest of Sanandaj-Sirjan metamorphic zone. Petrography and mineralogy by XRD analysis show that minerals such as talc, chlorite, epidote and muscovite were formed in the first phase of metamorphism and tremolite, actinolite and biotite in the second phase. Second metamorphism phase is the peak metamorphism phase and is related to green-schist facies. Four phases of deformation were determined in this complex. The first and the second deformation phases were related to the first and the second metamorphism phases, respectively and were determined with different crenulations. The third deformation phase coincided with the intrusion of acid rocks that were formed in the subduction zone and caused dome, metasomatism, skarn, the third phase of retrograde metamorphism and iron mines in this complex. The fourth deformation phase is distinguishable with created brittle fault.

**Keywords:** Almabulage Complex, Metamorphic, Deformation, Metasomatism.

## تأثیر فازهای مختلف کوهزایی بر دگرگونی و واحدهای رسوبی - آتشفسانی مجموعه آلمابولاغ (شمال غرب ایران)

محبوبه جمشیدی بدر

گروه زمین‌شناسی، دانشگاه پام نور، تهران (m\_jamshidi@pnu.ac.ir)

تاریخ داوری: ۱۳۹۲/۹/۲۱

تاریخ دریافت: ۱۳۹۲/۹/۱۸

تاریخ انتشار مقاله

تاریخ انتشار: ۱۳۹۲/۹/۲۵

تاریخ پذیرش: ۱۳۹۲/۹/۲۴

تاریخ اصلاحات: ۱۳۹۲/۹/۲۳

**چکیده**

مجموعه آلمابولاغ با واحدهای رسوبی - آتشفسانی که تحت تأثیر سه فاز دگرگونی قرار گرفته‌اند، در شمال غرب کوه‌های سندج - سیرجان برونزد دارد. پتروگرافی و بررسی XRD گویایی تشكیل کانی‌های تالک، کلریت، اپیدوت و موسکویت در فاز دگرگونی اول و کانی‌های ترمولیت، اکینولیت و بیوتیت در فاز دگرگونی دوم می‌باشد که اوج دگرگونی مربوط به فاز دگرگونی دوم بوده و در گستره رخساره شیست سبز است. چهار فاز دگرگشکلی در این مجموعه قابل تفکیک می‌باشد که فاز دگرگشکلی اول و دوم با دگرگونی اول و دوم همزمان بوده و با ایجاد چن خوردگی‌های مختلف مشخص می‌شود. هم‌زمان با فاز دگرگشکلی سوم توده نفوذی اسیدی که در یک محیط فروزانش تشكیل شده، باعث گبدهی شدن، متاسوماتیسم، اسکارن‌زایی، تشكیل معادن آهن و دگرگونی پسرونده فاز سوم، در مجموعه آلمابولاغ شده است. فاز دگرگشکلی چهارم با ایجاد انواع گسل‌ها در شرایط شکنا نسبت به بقیه فازهای دگرگشکلی قابل تفکیک می‌باشد.

**واژه‌های کلیدی:** مجموعه آلمابولاغ، دگرگونی، دگرگشکلی، متاسوماتیسم

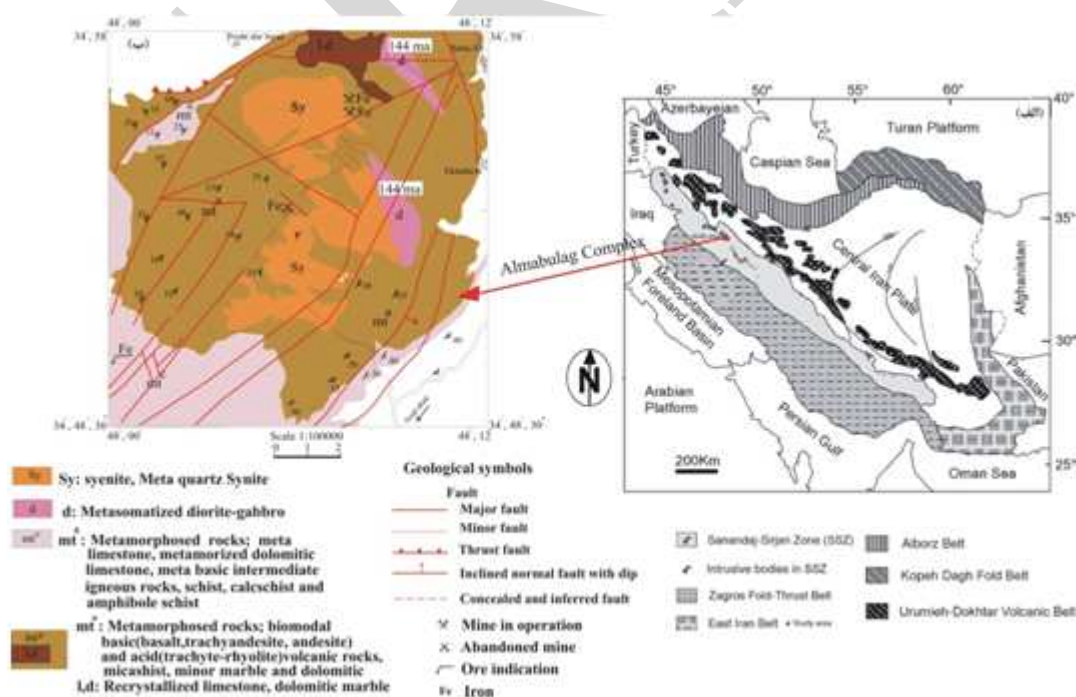
شیسته‌های همدان که در اطراف این مجموعه بروند دارند و همچنین مواد معدنی آهن که در چند منطقه برداشت می‌شود، است. در این تحقیق مجموعه دگرگونی آلمابلاع از لحاظ سنگ‌های مادر و ارتباط فازهای دگرشکلی و دگرگونی و نحوه جایگزینی توده‌های نفوذی آن مورد بحث و بررسی قرار گرفته و ارتباط دگرشکلی‌ها منطقه با مطالعات انجام شده قبلی (Aliani et.al ۱۳۸۶؛ توکلی، ۱۳۸۳) در شمال غرب زون سنتدج- سیرجان مقایسه شده تا روند تشکیل، جایگیری، حرارت و فشار سنگ‌های دگرگونی مجموعه آلمابلاع مشخص شود.

## ۲. مواد و روش‌ها

### ۲.۱. زمین‌شناسی عمومی منطقه

مجموعه آلمابلاع در شمال غرب زون دگرگونی سنتدج- سیرجان قرار گرفته و در نقشه زمین‌شناسی ۱/۱۰۰۰۰۰ تویسرکان معرفی شده است (شکل ۱) (Rutner 1991؛ Alavi 1991؛ and Stoklin 1996).

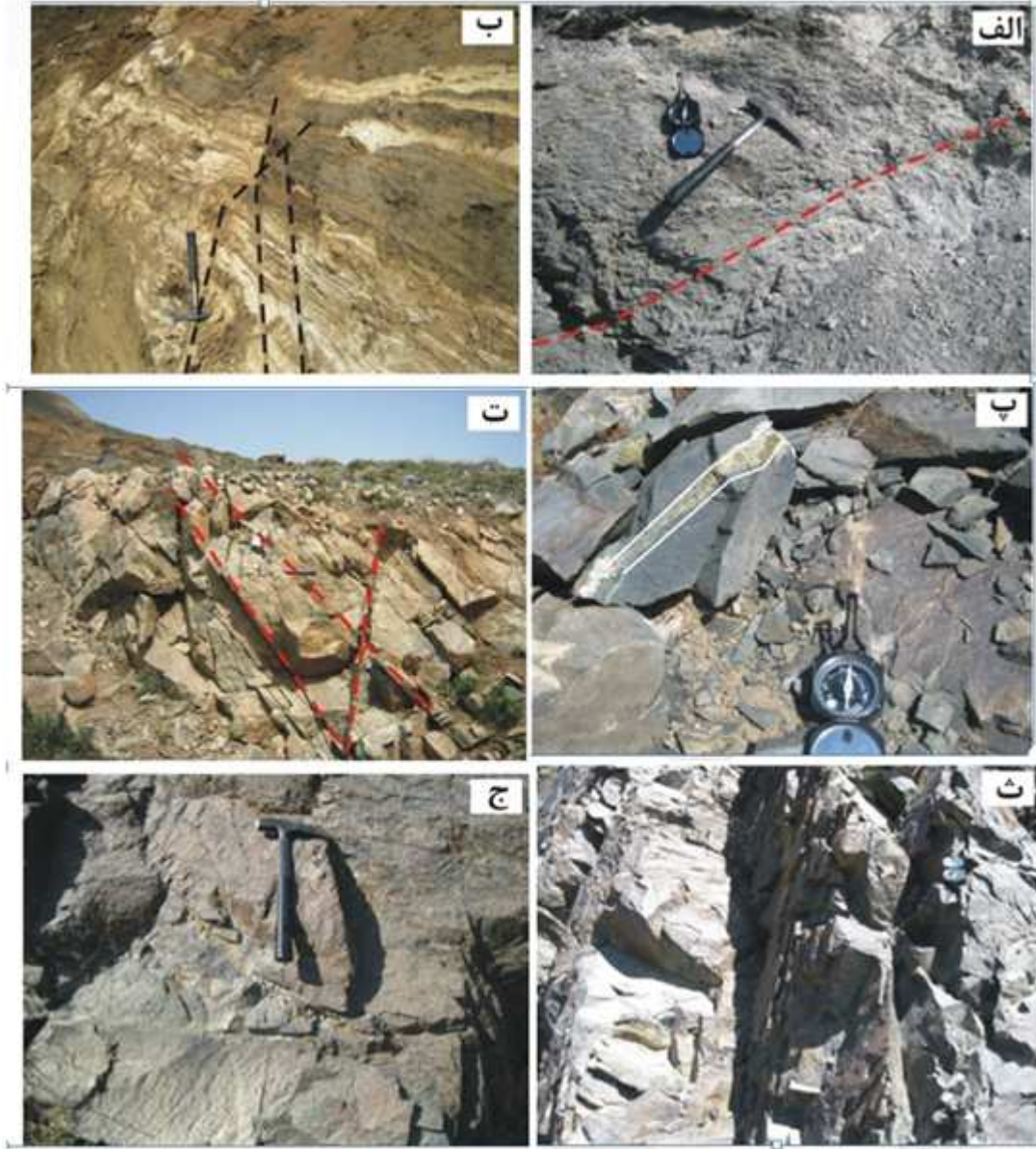
سنگ مادر سنگ‌های دگرگونی، تحلیل ساختارها، بافت‌ها و ارتباط آن‌ها با فازهای دگرگونی می‌تواند در جهت تشخیص محیط، زمان تشکیل و نحوه جایگیری توده‌های نفوذی همراه با سنگ‌های دگرگونی در مجموعه‌های دگرگونی کاربردی باشد ( حاج علی اوغلی، ۱۳۹۰؛ Jamshidi et.al 2013؛ Kruhl and Waters and Lovegrove 2002؛ Vernon et.al 1993؛ Peternell 2001 مختلف دگرگونی گویایی حرارت و فشار منطقه است و در سنگ‌های مادر مختلف کانی‌های دگرگونی متفاوت در شرایط حرارت و فشار یکسان تشکیل می‌شوند. کانی‌های شاخص دگرگونی در مجموعه‌های دگرگونی و نحوه ارتباط آن‌ها با فازهای دگرشکلی کمک مؤثری در تحلیل شرایط Passchier and Trouw 2005 تشکیل مجموعه‌های دگرگونی است (Jamshidi et.al 2012؛ Trouw 2005 در شمال غرب ایران و در ۱۵ کیلومتری غرب همدان بروندز دارد، دارای تکتونیک فعال بوده و شامل واحدهای رسوبی- آتشفسانی آلمابلاع، واحدهای آهکی چنارشیخ و واحد



شکل ۱. (الف) موقعیت مجموعه آلمابلاع در نقشه زمین‌شناسی ایران اقباس از (Rutner and Stocklin 1967؛ Alavi 1991) (با تفکیک توده‌های نفوذی و ولکانیکی در زون سنتدج- سیرجان و زون اورمیه - دختر، ب) نقشه زمین‌شناسی ساده شده منطقه آلمابلاع اقباس از نقشه زمین‌شناسی ۱/۱۰۰۰۰۰ تویسرکان (اشراقی و محمودی، ۱۳۸۲).

رگه‌های اپیدوت و تورمالین و دو واحد سنگی آذرین بازیک و اسیدی است. در شکل (۲) و (۳) بروزند انواع سنگ‌های مختلف در این مجموعه نشان داده شده است.

در نقشه چهار گوش تویسرکان قدیمی‌ترین واحدهای سنگی، سنگ‌های رسوی و آتشفشاری مجموعه آلمابلاع معرفی شده‌اند که مربوط به زمان پیش از تریاس میانی بوده و شامل شیست‌ها، کالک‌شیست‌ها، مرمرها، آمفیبولیت‌ها،



شکل ۲. بروزند سنگ‌های مجموعه آلمابلاع و ساختارهای گسل در آن‌ها. (الف) گسل در شیست‌های منطقه غرب روستای بابا علی، دید عکس رو به سمت شمال است، (ب) بروزند کالک‌شیست‌ها در غرب منطقه و ساختار گسل‌های موازی و متقطع در آن‌ها، دید عکس رو به سمت شمال، (ت) بروزند توده‌های آذرین اسیدی در مرکز مجموعه آلمابلاع و ساختار گسل‌های متقطع در آن‌ها، دید عکس رو به سمت شمال، (پ) و (ت) بروزند آمفیبولیت‌ها و اپیدوتیتی شدن آمفیبولیت‌ها در غرب منطقه، (ج) بروزند سنگ‌های آذرین مافیک (متاگابروها) در جنوب منطقه.

(اواخر ژوراسیک- اوایل کرتاسه) تعیین شده است (Valizadeh and Cantagrel 1975). شواهد فیلدي که شامل حضور انکلاوهایی از توده بازیک در داخل توده اسیدی است

بروزند توده آذرین بازیک در سه قسمت از مجموعه آلمابلاع مشاهده می‌شود. از لحاظ حجم نسبت به توده نفوذی اسیدی کمتر بوده و سن‌سنگی مطلق Rb-Sr این توده گویایی جای‌گیری آن در زمان  $144 \pm 7$  میلیون سال

گویایی قدیمی‌تر بودن توده بازیک نسبت به توده اسیدی می‌باشد.



شکل ۳. بروزند سنگ‌های مختلف مجموعه آلمابلاع و ساختارهای چین خوردگی در آن‌ها. (الف) بروزند شیست‌ها با ساختار ریز‌چین‌های در جنوب منطقه و غرب روستای آخته‌چی دید عکس رو به سمت شمال، (ب) بروزند نیمه‌شیست‌ها با ساختار چین‌های خوابیده و ریز‌چین‌ها در غرب منطقه، (پ) بروزند کالک‌شیست‌ها با ساختار چین‌های باز در جنوب منطقه، دید عکس رو به غرب، (ت) و (ث) کالک‌شیست‌ها با ساختار چین‌های خوابیده و ریز‌چین‌ها در غرب منطقه، دید عکس رو به سمت جنوب، (ج) بزرگنمایی قسمت مقطع چهار گوش تصویر (ث) که چین خوردگی‌های دگرگشکلی دوم را به خوبی نشان می‌دهد، (چ) بروزند اپیدوئیت‌ها در جنوب منطقه با چین‌های شکنا حاصل از دگرگشکلی سوم و ریز‌چین‌ها، دید عکس رو به شمال، (ح) بروزند رگه‌های کوارتز در شیست‌های جنوب منطقه حوالی روستای آخته‌چی، (خ) بروزند کالک‌شیست‌ها با ساختار ریز‌چین‌ها و چین‌های شکنا در غرب منطقه.

متادیوریت نامیده می‌شود (شکل ۲-ج). توده اسیدی به رنگ خاکستری روشن تا متوسط در مرکز مجموعه آلمابلاع بروزند دارد که حالت گبدی شکل دارد و باعث حالت گبدی شدن کل مجموعه آلمابلاع شده است. همچنین آثار فعالیت گسل‌های متقاطع در حالت شکنا در این توده مشاهده

. آثار دگرگشکلی در این توده مشاهده نمی‌شود ولی آثار دگرسانی در این توده به وضوح قابل تشخیص است. به طوری که پیروکسن‌ها به طور کامل به آمفیبول تبدیل شده‌اند و فقط آثار بافت افیتیک و ساب افیتیک اولیه باقی مانده است. به دلیل دگرگونی پسروندی در این تحقیق متاگلبرو-

شیستهای مجموعه آلمابولاغ دارای برگوارگی مشخص و شامل کانی‌های صفحه‌ای موسکویت و بیوتیت که فراوانی موسکویت خیلی بیشتر بوده و کانی‌های دانه‌ای کوارتر، پلاژیوکلاز و در بعضی از نمونه‌ها کانی‌های دانه‌ای کدر نیز مشاهده می‌شود. از لحاظ بافتی در این نوع شیستهای دو نوع برگوارگی به وضوح قابل تشخیص است. برگوارگی اول (S1) که باعث طویل شدن و جهت‌دار شدن کانی‌های میکایی شده است و برگوارگی دوم (S2) که در اثر چین خوردگی برگوارگی S1 و رشد کانی‌های صفحه‌ای بیوتیت بر سطح محوری چین خوردگی ثانویه تشکیل شده است و در (شکل ۴ الف-ج) به وضوح این دو نوع برگوارگی قابل تشخیص است. در بعضی از شیستهای کانی‌های فلزی همراه با لایه‌بندی اولیه تشکیل شده است که می‌تواند مربوط به همزمان با رسوب گذاری باشد (شکل ۴ ت و ث).

#### ۲.۲.۲. نیمه‌شیستهای

نیمه‌شیستهای دارای فراوانی بیشتری نسبت به شیستهای می‌باشد چون محیط رسوبی و آتشفشاری بوده لذا لایه‌بندی اولیه واحدهای رسی کوارتردار در مجموعه آلمابولاغ بیشتر است. در این نوع شیستهای کانی‌های میکایی مثل موسکویت و بیوتیت با بافت صفحه‌ای و کانی‌های کوارتر با خاموشی موجی مشخص و حالت کشیدگی واضح که گویایی تأثیر نیروهای دینامیکی در محیط می‌باشد، در بعضی از نمونه‌ها کوارترها دارای حاشیه مضرص نیز می‌باشند (شکل ۴-ح). لایه‌بندی اولیه و برگوارگی S1 که باعث طویل شدن و کانی‌های صفحه‌ای و کشیدگی کانی‌های دانه‌ای کوارتر شده است، در این نمونه‌ها قابل تشخیص است.

همچنین دگرشکلی دوم (D2) که باعث چین خوردگی برگوارگی S1 و حتی تشکیل و رشد کانی‌های جدید صفحه‌ای بر روی سطح محوری چین‌ها شده است. علاوه بر دو نوع برگوارگی ذکر شده در این نوع سنگ‌ها حالت برش و سایه‌های فشاری در اطراف کانی‌های فلزی و پلاژیوکلازهای درشت بلور دیده می‌شود (شکل ۴ خ-ر).

می‌شود (شکل ۲-ت). در بافت‌های میکروسکوپی از توده نفوذی سینوگرانیتی شواهدی از دگرشکلی شکل‌پذیر وجود ندارد. فقط همرشدی‌های ماگمایی در این توده نفوذی مشاهده می‌شود که مربوط به زمان تبلور ماگما است. همچنین با توجه به آنومالی بالای سدیم (Na) در این توده نفوذی و شرایط بافتی توده نفوذی اسیدی جایگیری آن در دو مرحله گزارش شده (جمشیدی‌بدر و همکاران، ۱۳۹۲) که جایگیری نهایی با تأثیر شاره‌های فلوردار در منطقه می‌باشد، همچنین اطراف توده اسیدی در این مجموعه رگه‌های تورمالین از نوع هیدروترمال حضور دارند که می‌تواند دلیلی بر فعالیت شاره‌های ماگمایی فلوردار در منطقه باشد (جمشیدی‌بدر و همکاران، ۱۳۹۲). از لحاظ دگرشکلی فقط تأثیر گسل‌های متقطع در این توده نفوذی که در حالت جامد و بدون شکل‌پذیری مشاهده می‌شود، که می‌تواند مربوط به فعالیت‌های تکتونیکی بعد از جایگیری و سرد شدن توده نفوذی باشد (شکل ۲).

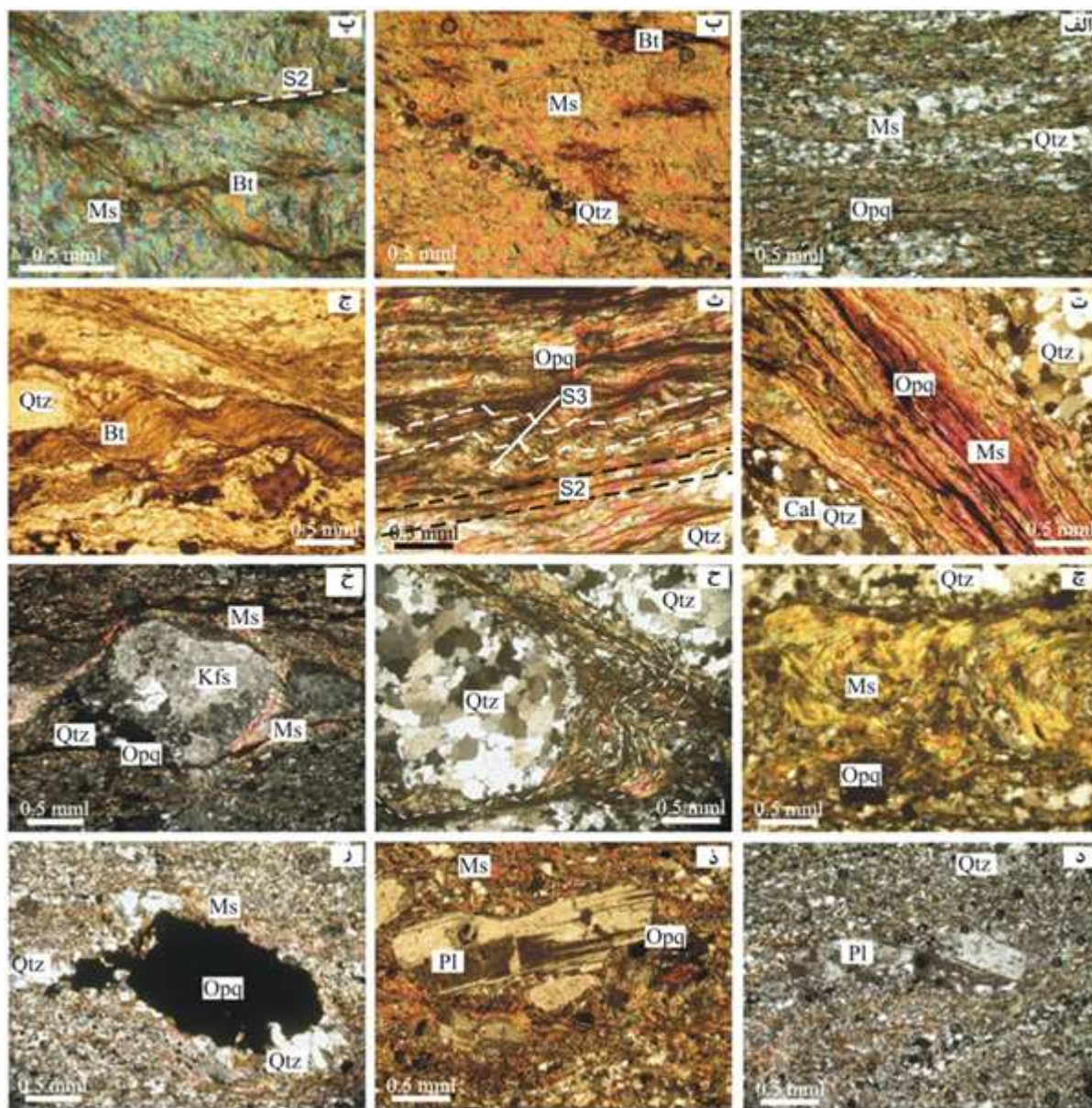
## ۲.۲. دگرشکلی سنگ‌های دگرگونی مختلف مجموعه آلمابولاغ

در این قسمت پتروگرافی و بافت سنگ‌های دگرگونی در مجموعه دگرگونی آلمابولاغ توصیف می‌شود.

#### ۲.۲.۱. شیستهای

برونزد شیستهای در مجموعه آلمابولاغ کم بوده و بیشتر به صورت بین لایه‌ای همراه با نیمه‌شیستهای و کالک شیستهای در جنوب و شمال این مجموعه دیده می‌شوند، سنگ مادر شیستهای از سنگ‌های پلیتی است که در زمان رسوب گذاری با واحدهای دیگر تشکیل شده‌اند و در اثر تأثیر فاز دگرگونی اول و دوم (M1,M2) در این منطقه به شیست تبدیل شده‌اند (شکل ۴).

اکثر شیستهای با پورفیروبلاست‌های مختلف خارج از مجموعه آلمابولاغ بروندز دارند که به عنوان اسليت‌ها و شیستهای همدان نام‌گذاری شده‌اند. چون در این تحقیق هدف از بررسی معرفی پتروگرافی و بافت سنگ‌های مادر رسوبی و آتشفشاری مجموعه آلمابولاغ است لذا در مورد بافت و کانی‌شناسی شیستهای همدان توضیحی داده نمی‌شود.



شکل ۴. تصویر سنگنگاری و بافت سنگنگاری های دگرگونی شیسته ای مجموعه آلمابولاغ. (الف) لایبندی اولیه همراه با برگوارگی S1 در شیسته ای، (ب) حالت چین خوردگی و رشد کانی بیوتیت در سطح محوری چین ها و ایجاد برگوارگی S2، همان طوری که در تصویر دیده می شود جهت برگوارگی دوم عمود بر برگوارگی اول است، (پ) رشد کانی بیوتیت در سطح محوری چین ها و ایجاد برگوارگی دوم و چین خوردگی بیوتیت های رشد کرده در سطح محوری در اثر دگرگشکلی سوم، (ت) ایجاد ریز چین ها در برگوارگی دوم در اثر دگرگشکلی D3، (ث) ایجاد برگوارگی S3 در شیسته ای های منطقه، (ج) ایجاد ریز چین ها در برگوارگی S2 در اثر دگرگشکلی D3، (چ) و (خ) ایجاد ریز چین ها در میکاهای اطراف گرهکهای کوارتز، (خ) ایجاد حالت چشمی در کانی آلکالی فلدسپار و تشکیل نوارهای موسکویت در اطراف کانی آلکالی فلدسپار، (د) دگرگشکلی در نیمه شیسته ای، (ذ) دگرگشکلی پلازیوکلاز و همراه با نوارهای بیوتیت و موسکویت در اطراف آن، (ر) حالت برش در کانی تیره فلزی و ایجاد و رشد کانی های کوارتز در مناطق کم استرس.

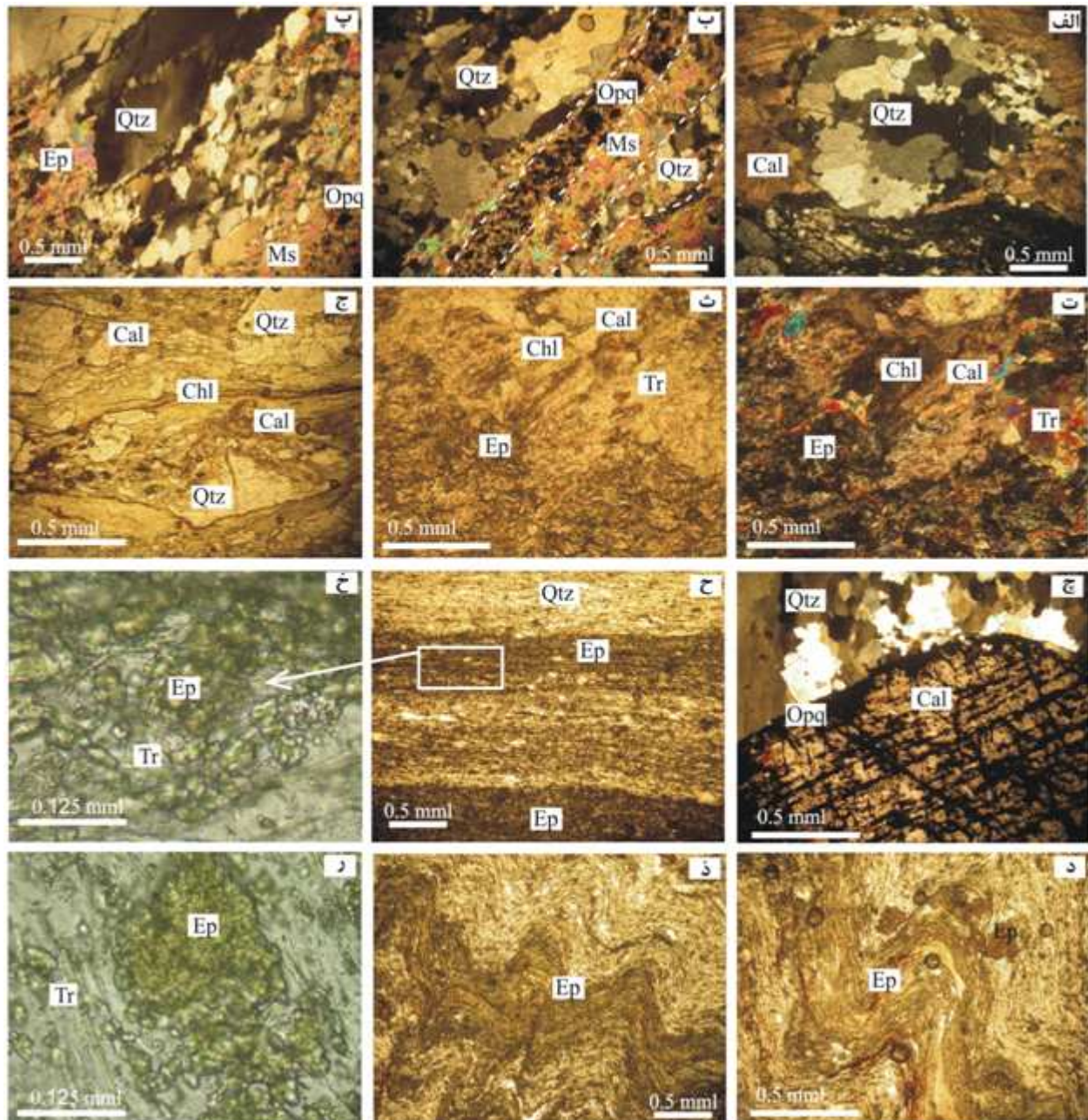
می‌شوند. سنگ‌های آهکی در برگیرنده توده‌های نفوذی اسیدی تشکیل ذخایر آهن قابل استخراج در این مجموعه را در ارتباط با اسکارن‌زایی داده‌اند (توکلی، ۱۳۸۳). از لحاظ کانی‌شناسی شامل کلسیت‌های با ماکل دگرشکلی مشخص و در اندازه‌های متغیر می‌باشند و در بعضی از نمونه‌ها در امتداد

۲.۳. کالک - شست ها

کالک - شیست‌ها نیز همانند نیمه شیست‌ها نسبت به شیست‌ها در مجموعه آلمابولاغ فراوانی زیاد دارند. به طوری که در اکثر منطقه بروزد داشته و در قسمت غرب منطقه به صورت خالص بوده که مرمرها را تشکیل داده‌اند و مجموعه چنار شیخ نامیده

بعضی از واحدهای کالک‌شیست‌ها دارای ندول‌های چرتی می‌باشد که گویایی تشکیل سنگ مادر آن‌ها در محیط‌های رسوبی زیر دریایی است (شکل ۵ الف).

رخ‌های کلسیت کانی‌های فلزی تشکیل شده‌اند (شکل ۴ چ). از لحاظ بافتی برگوارگی و لاپیدوتی اولیه در این نمونه‌ها قابل تشخیص است و حالت چین‌خوردگی هم در لایه‌های غنی از کانی‌های میکایی به وضوح دیده می‌شود (شکل ۴ ت). در



شکل ۵ تصویر سنگنگاری و بافت سنگ‌های دگرگونی کالک‌شیست‌ها و اپیدوتیت‌های مجموعه آلمابولاغ. (الف) گرهک‌های کوارتز در کالک‌شیست‌ها، (ب) تشکیل لایه‌های غنی از کانی‌های تیره فلزی در کالک‌شیست‌ها، (پ) دگرگشکلی کانی کوارتز با حاشیه‌های دندانه‌ای و خاموشی موجی در کالک‌شیست‌ها، (ت) (ث) حضور کانی‌های اپیدوت، کلریت، کلسیت، ترمولیت و کوارتز در کالک‌شیست‌ها در نور PPI و XPL، (ج) جهت یافته‌گی در کالک‌شیست‌ها نور PPI، (چ) تشکیل کانی‌های تیره فلزی در امتداد رخ‌های بلور کلسیت در کالک‌شیست‌ها، (ح) لایه‌بندی اولیه و جهت یافته‌گی در اپیدوتیت‌ها، (خ) بخش چهارگوش شناس داده شده در شکل (ج) می‌باشد که حضور کانی‌های اپیدوت و ترمولیت با بزرگنمایی یشنتر نشان داده است، (د) و (ذ) ریز‌چین‌ها در اپیدوتیت‌های نشان داده است، (ر) حضور اپیدوت و ترمولیت در اپیدوتیت‌هایی که دارای چین‌خوردگی می‌باشند با بزرگنمایی بیشتر و در نور PPI نشان داده است.

جهت اطمینان از حضور کانی‌های دگرگونی در سنگ‌های دگرگونی، از سنگ‌های دگرگونی مختلف ۱۰ نمونه جهت بررسی XRD انتخاب شدند و در آزمایشگاه بررسی مرکز پژوهش‌های کاربردی سازمان زمین‌شناسی و اکتشاف معدنی کشور (استان البرز) بررسی انجام شده است. نتایج بررسی گویایی حضور کانی‌های تالک، اپیدوت، کلینوزوئیزیت ترمولیت، اکتینولیت، موسکویت، فلوگویست، بیوتیت، کلسیت، دولومیت، کوارتز، آلبیت، آنورتیت و آلکالی فلدسپار در سنگ‌های مادر مختلف مجموعه دگرگونی آلمابولاغ می‌باشد.

#### ۴.۲. شرایط تشکیل کانی‌های دگرگونی در مجموعه آلمابولاغ

واکنش‌های تشکیل کانی‌های دگرگونی در سنگ‌های مادر مختلف می‌تواند به صورت زیر باشد (علام اختصاری استفاده شده در واکنش‌های دگرگونی و تصاویر از (کرتز، ۱۹۸۳) است).

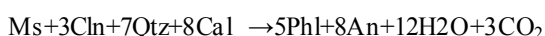
##### ۴.۲.۱. موسکویت

کانی دگرگونی موسکویت در سنگ‌های دگرگونی مختلف با سنگ‌های مادر متفاوت پلیتی، نیمه‌پلیتی و مارن‌ها حضور دارد و فراوان‌ترین کانی دگرگونی در سنگ‌های دگرگونی مجموعه آلمابولاغ است. با توجه به جهت یافته‌گری برتر موسکویت در سنگ‌های مادر مختلف گویایی تشکیل آن در شرایط دگرگونی ناحیه‌ای می‌باشد. واکنش‌های دگرگونی که باعث تشکیل موسکویت در مجموعه آلمابولاغ شده، می‌تواند به صورت زیر باشد:

شیست‌ها و نیمه‌شیست‌ها (متاپلیت‌ها):



کالک‌شیست‌ها (متامارن‌ها):



#### ۴.۲.۲. اپیدوتیت‌ها

اپیدوتیت‌ها با رنگ سبز در صحراء قابل تشخیص هستند و در اطراف توده‌های نفوذی اسیدی که در مرکز مجموعه آلمابولاغ بروز ند دارد به فراوانی دیده می‌شوند و در بعضی از نمونه‌ها به دلیل حضور کوارتز به رنگ سفید تا سبز کم رنگ دیده می‌شوند.

کانی‌های اپیدوت با رنگ سبز و برجستگی بالا نسبت به بقیه کانی‌ها قابل تشخیص هستند و دارای بافت دانه‌ای بوده و همراه با کانی کوارتز لایه‌بندی اولیه، برگوارگی و حتی چین‌خوردگی واضحی را نشان می‌دهند که حالت‌ها چین‌خوردگی در نمونه‌های ماکروسکوپی و میکروسکوپی به وضوح قابل تشخیص است (شکل ۳-چ و ۵-ح، ۵-ر). بعضی از نمونه‌ها دارای تالک و ترمولیت نیز می‌باشند که با توجه به پاراژنز کانی‌های موجود در این نوع سنگ‌ها، سنگ مادر آن‌ها از نوع مارن است (شکل ۵-ت).

#### ۴.۲.۳. آمفیبولیت‌ها

آمفیبولیت‌ها اکثرًا از کانی‌های آمفیبول با بافت ستونی که جهت یافته‌گری مشخصی دارند و پلاژیوکلازهای کلسیک که دارای بافت دانه‌ای هستند، تشکیل شده‌اند. بروز ند آن‌ها بیشتر در جنوب منطقه است. از لحاظ دگرگشکلی در این نمونه‌ها آثار برشی به وضوح قابل تشخیص می‌باشد. همراه آمفیبولیت نیز با فراوانی کمتر کانی‌های اپیدوت و تالک نیز حضور دارند (شکل ۲-پ و ۲-و، شکل ۴-الف و ب).

#### ۴.۲.۴. متاگابروها

متاگابروها در سه منطقه در مجموعه آلمابولاغ حضور دارد آثار دگرگشکلی شکل‌بندی همانند بقیه واحدهای سنگی در این سنگ‌ها مشاهده نمی‌شود. فقط آثار دگرگونی پسروند و متاسوماتیسم که شامل تبدیل پیروکسن‌ها به آمفیبول و کلریت است. به طوری که شواهدی بافتی آذرین اولیه در سنگ باقی‌مانده است (شکل ۲-ج و شکل ۵-ب و ت).

#### ۴.۳. آنالیز XRD



#### ۲.۴.۲. بیوتیت

کانی دگرگونی بیوتیت در دومین فاز دگرگونی با جهت یافته‌گی مشخص تشکیل شده است. این کانی‌ها در امتداد سطح محوری چین خوردگی‌های ایجاد شده در برگوارگی S1 تشکیل شده و باعث ایجاد برگوارگی S2 شده است. واکنش‌های دگرگونی تشکیل بیوتیت در شیسته‌ها و نیمه‌شیسته‌ها می‌تواند در ارتباط با واکنش‌های دگرگونی زیر باشد:

شیسته‌ها (متاپلیت‌ها):



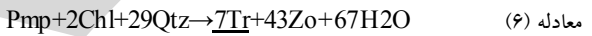
معادله (۴)

کانی دگرگونی آمفیبول از نوع ترمولیت و اکتینولیت در سنگ‌های دگرگونی آمفیبولیت و کالک شیسته‌ها حضور دارند. شرایط تشکیل آمفیبول در سنگ‌های مادر مختلف، می‌تواند در اثر واکنش‌های زیر باشد:

آمفیبولیت‌ها (متابازیک‌ها):

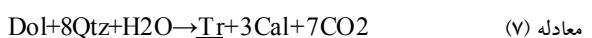


معادله (۵)



معادله (۶)

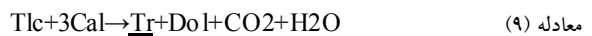
کالک-شیسته‌ها (متامارن‌ها):



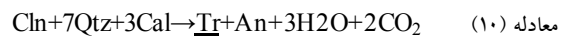
معادله (۷)



معادله (۸)



معادله (۹)



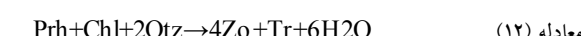
معادله (۱۰)

#### ۲.۴.۳. اپیدوت

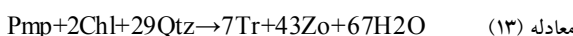
کانی دگرگونی اپیدوت در سنگ‌های مادر مارن‌ها، کالک-شیسته‌ها و با فراوانی کمتر در آمفیبولیت‌ها حضور دارد. واکنش‌های تشکیل اپیدوت در سنگ‌های مادر مختلف می‌تواند در اثر واکنش‌های زیر ایجاد شوند.

کالک-شیسته‌ها (متامارن‌ها):

معادله (۱۱)



معادله (۱۲)

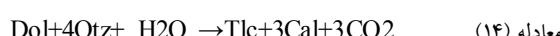


معادله (۱۳)

#### ۲.۴.۲. کالک

کانی کالک در کالک-شیسته‌ها حضور دارند و واکنش‌های تشکیل کالک می‌تواند در اثر واکنش‌های زیر باشد.

کالک-شیسته‌ها (متامارن‌ها):



معادله (۱۴)

### ۳. بحث و نتایج

مطالعات پتروگرافی و بررسی XRD گویایی حضور کانی‌های کلسیت، دولومیت، کالک، اپیدوت (کلینوزوئیزیت)، ترمولیت، اکتینولیت، موسکویت (فلوگوپیت)، آلتیت، آنورتیت و آلکالی فلدسپار در کالک شیسته‌ها، حضور کانی‌های موسکویت، بیوتیت، کوارتز و پلاژیوکلاز در شیسته‌ها و نیمه‌شیسته‌ها و حضور کانی‌های ترمولیت، اکتینولیت، اپیدوت، کلریت، پلاژیوکلاز در آمفیبولیت‌ها در مجموعه دگرگونی آلمابولاغ می‌باشد.

واکنش‌های دگرگونی که شرایط تشکیل این کانی‌ها را به وجود می‌آورند به طور ویژه حضور مجموعه کانی‌های کلریت + اپیدوت + اکتینولیت در متابازیک‌ها و حضور ایزوگراد ترمولیت در کالک شیسته‌ها مشخصه گسترده رخساره شیست سبز بوده که حرارت و فشار لازم برای ایجاد این سنگ‌های دگرگونی در گستره دمایی ۵۰۰-۵۵۰ درجه سانتی‌گراد و گستره فشار ۴/۵-۵ کیلوبار می‌باشد (شیخی و همکاران، ۱۳۹۱).

سه نوع چین خوردگی در سنگ‌های مادر مختلف مجموعه آلمابولاغ که شامل چین‌های خوابیده و چین‌های باز و چین‌های شکنا هستند، قابل تفکیک می‌باشد (شکل ۳) که بررسی‌های قبلی که توسط محجل و ایزدی‌کیان (۱۳۸۶) در

بعد از جایگیری کل مجموعه تحت تأثیر دگرشکلی D4 که یک دگرشکلی شکنا می باشد، قرار گرفته اند.

دگرشکلی فاز D4 گسل های مقاطع در توده نفوذی اسیدی که آخرین فاز آذرین منطقه است، ایجاد کرده و همچنین باعث دگرشکلی های برشی در واحدهای مختلف سنگی در مجموعه آلمابلاع شده است.

جایگیری توده نفوذی اسیدی در واحدهای آهکی باعث اسکارن زایی و تشکیل مواد معدنی در چند منطقه از این مجموعه شده است.

مواد معدنی که به صورت اسکارن تشکیل شده اند تحت تأثیر آخرین فاز دگرشکلی D4 قرار گرفته و حالت برشی نشان می دهند (شکل ۴-ر).

تأثیرات فازهای دگرشکلی D1, D2 در مواد معدنی فلزی مجموعه آلمابلاع نیز مشاهده می شود (شکل ۴-ب و ت) تشکیل مواد معدنی مربوط در این مجموعه علاوه بر اسکارن زایی در زمان رسوب گذاری با بقیه واحدهای رسوبی هم تشکیل شده و تحت تأثیر فازهای دگرشکلی D1 همراه با بقیه کانی ها به صورت جهت دار قرار گرفته و در اثر دگرشکلی فاز D2 چین خوردگی پیدا کرده است.

با توجه به شواهد پتروگرافی و بافتی در این مجموعه مواد معدنی در طی چندین فرایند مختلف که شامل همزمان با رسوب گذاری، طی چین خوردگی و اسکارن زایی تشکیل شده و تحت تأثیر آخرین فاز دگرشکلی شکنا D4 تجمع پیدا کرده است.

بیشترین ذخیره مواد معدنی آهن مربوط به مرحله اسکارن زایی که حاصل از جایگیری آخرین فاز آذرین اسیدی (توده سینوگرانیتی) در مجموعه آلمابلاع است.

شواهد کانی شناسی و بافتی گویایی تشکیل سه فاز دگرگونی در مجموعه آلمابلاع می باشد که کانی های تالک، کلریت، موسکویت در دگرگونی های فاز M1 و کانی های ترمولیت، اکتینولیت، بیوتیت در فاز دگرگونی M2 تشکیل شده اند و اوج دگرگونی مربوط به فاز دگرگونی M2 و مربوط به رخساره شیست سبز است.

مجموعه های چنان شیخ، آلمابلاع و شیست های همدان معرفی کرده اند، همخوانی دارد.

چین خوردگی های نسل اول و دوم در شرایط کاملاً شکل پذیر تشکیل شده اند و با دگرگونی M1 و M2 همراه می باشند ولی چین خوردگی نسل سوم در حالت نیمه شکل پذیر تا حالت شکنا تشکیل شده است. سه نسل چین خوردگی که در اثر سه دگرشکلی مختلف تشکیل شده اند که در مقیاس میکروسکوپی با برگوارگی های S1, S2, S3 قابل تشخیص هستند.

برگوارگی S1 که در اثر دگرشکلی فاز D1 ایجاد شده است، باعث شده کانی های میکایی مثل کلریت و موسکویت به موازات هم دیگر قرار گیرند.

دگرشکلی فاز D2 باعث چین خوردگی برگوارگی S1 و رشد کانی های بیوتیت در سطح محوری این چین خوردگی ها شده که برگوارگی S2 را تشکیل داده است.

دگرشکلی فاز D3 در بعضی از نمونه ها باعث چین خوردگی های برگوارگی S2 شده و برگوارگی S3 را ایجاد کرده است ولی گسترش برگوارگی S3 خیلی کمتر از برگوارگی S2 است. شکل (۴-ب و ج) به طور وضوح تأثیر سه نوع دگرشکلی را در شیست ها نشان می دهد.

گسل های مقاطع که در شرایط کاملاً شکنا تشکیل شده و تأثیرات آن در توده نفوذی اسیدی (سینوگرانیتی) و بقیه واحدهای سنگی مشاهده می شود (شکل ۲).

بررسی توده نفوذی اسیدی در مقیاس میکروسکوپی گویایی این است که این توده فاقد آثار دگرشکلی های D1, D2 و همچنین فاقد حضور کانی های دگرگونی است لذا بالآمدگی و جایگیری این توده نفوذی بعد از دگرشکلی های D1, D2 بوده و همزمان با دگرشکلی D3 و یا بعد از آن می باشد.

به دلیل حجم عظیم این توده نفوذی حالت گندی شکل به این مجموعه داده است که باعث چین خوردگی حاصل در فاز دگرشکلی D3 و در بعضی از پرتولیت ها باعث برش شده است.

توده‌های آذرین مافیک و فلزیک مجموعه آلمابلاع همانند بقیه توده‌های نفوذی مجاور مثل توده‌های نفوذی الوند، بروجرد و قزوه در یک محیط فرورانشی و ماگمایی که حاصل بسته شدن نتوتیس و فرورانش بین پلیت ایران و عربستان می‌باشد (Aliani et.al 2009; Mehrabi et. al 2012; Ahmadi Khalaji et.al 2007; Shabaz et.al 2010).

روندهای گیری توده‌های فلزیک در مجموعه آلمابلاع در دو مرحله انجام گرفته است (جمشیدی‌بدر و همکاران، ۱۳۹۲) که جای گیری نهایی توده‌های فلزیک باعث گندی شدن منطقه شده است و در واحدهای دولومیتی و کلسیتی باعث تشکیل مواد معدنی طی فرآیند اسکارنی شده است و همچنین به دلیل حضور سیال‌های ماگمای باعث اپیدوتیتی شدن، کلسیتی شدن، آلتیتی شدن، فراوانی کانی‌های اکسیدی هماتیت و مگنتیت، تشکیل رگه‌های کوارتز و تورمالین هیدروترمال و دگرگونی پسروند نهایی در منطقه شده است.

## ۲. نتیجه‌گیری

مجموعه آلمابلاع دارای واحدهای رسوبی-آتشفشاری بوده که تحت تأثیر سه فاز دگرگونی M1, M2, M3 قرار گرفته‌اند. کانی‌های دگرگونی مختلف در سنگ‌های مادر متفاوت آن تشکیل شده است.

بررسی‌های پتروگرافی و بررسی XRD گویایی حضور کانی‌های تالک، اپیدوت، کلریت، موسکویت در فاز دگرگونی M1 و کانی‌های ترمولیت، اکنیولیت، بیوتیت در فاز دگرگونی M2 در سنگ‌های مادر مختلف تشکیل شده‌اند. اوج دگرگونی مربوط به فاز دگرگونی M2 که بر اساس مجموعه کانی‌ها مربوط به رخساره شیست سبز می‌باشد. چهار فاز دگرشکلی در این مجموعه قابل تفکیک می‌باشد که فاز D2 گرگشکلی D1 همراه با دگرگونی M1 و فاز دگرگشکلی D2 همراه با دگرگونی M2 همزمان می‌باشد و با ایجاد چین‌های خوردگی مختلف مشخص می‌شود.

جای گیری توده نفوذی اسیدی همزمان با فاز دگرگشکلی D3 همراه بوده و با توجه به حجم عظیم این توده باعث گندی شدن منطقه شده است.

تشکیل کانی‌های کلریت و آمفیبول حاصل از دیوپسیدها در متاگابروها حاصل از تأثیر سیال‌های متاسوماتیسم است. در اثر حضور تأثیر شاره‌های حاصل از نفوذ توده نفوذی اسیدی در انتهای فاز دگرگشکلی D3 تشکیل شده است که توانسته روی سنگ‌های آذرین مافیک که قبل از سنگ‌های آذرین اسیدی در منطقه نفوذ کرده‌اند نیز مؤثر باشد.

حضور سیال‌های هیدروترمال ماگمای و ایجاد متاسوماتیسم در مناطق دگرگونی با شواهدی از قیل اپیدوتیتی شدن سنگ‌های دگرگونی ناحیه‌ای، فراوانی عناصر آلکان به‌طور ویژه آلتیت‌زایی، کلسیتی شدن، حضور کانی‌های اکسیدی، هماتیت و تشکیل رگه‌های مرتبط با هیدروترمال مثل تورمالین و کوارتز است، شواهدی از همراهی متاسوماتیسم و دگرگونی ناحیه‌ای می‌باشد که در مناطق مختلف معرفی شده‌اند (Ashley et.al 2000؛ Ashley et.al 1998a؛ Cook and Ashley 1992؛ Skirrow and Ashely 1999؛ 1998b).

در این مجموعه آلمابلاع هم فراوانی اپیدوتیتی شدن آمفیبولیت‌ها، آلتیتی شدن در پلاژیوکلازها، فراوانی حضور کانی‌های اکسیدی مثل هماتیت، مگنتیت و رگه‌های کوارتز و تورمالین هیدروترمال مشاهده می‌شود.

فراوانی عناصر آلکان و آلتیتی شدن در این سنگ‌های آذرین این مجموعه نیز توسط جمشیدی‌بدر و همکاران (۱۳۹۲) گزارش شده است. لذا مجموعه آلمابلاع نیز علاوه بر دگرگونی تحت تأثیر سیال‌های هیدروترمال قرار گرفته و آخرین فاز دگرگونی M3 منطقه از نوع دگرگونی پسروند بوده که حاصل تأثیر سیال‌های هیدروترمال در منطقه می‌باشد.

سنگ مادر سنگ‌های دگرگونی شامل پلیت‌ها، نیمه‌پلیت‌ها با گرهک‌های چرتی، مارن‌ها و متاپازیک‌ها می‌باشد که مربوط به یک محیط رسوبی-آتشفشاری زیر دریابی بوده که توده‌های آذرین مرتبط با محیط‌های فرورانش و از نوع [Type-1] (جمشیدی‌بدر و همکاران، ۱۳۹۲؛ شفیعی و همکاران، ۱۳۹۱) در این منطقه نفوذ کرده و باعث برآمدگی و گندی شدن منطقه شده است.

شفیعی، ر.، ابراهیمی، م.، جمشیدی‌بدر، م.، معانی‌جو، م.، (۱۳۹۱) همرشدی کانی‌های فلزیک در کمپلکس آلمابولاغ. بیستمین همایش ملی بلورشناسی و کانی‌شناسی ایران، دانشگاه اهواز.

شیخی، ف.، اعلمی‌نیا، ز.، طباخ شعبانی، ا.ع.، (۱۳۹۱) زمین- دما‌سنگی اسکارن‌های سرانجیک (جنوب غرب قزوین، استان کردستان). مجله بلورشناسی و کانی‌شناسی ایران، شماره ۲، ۳۴۲-۳۵۴.

محجل، م. و ایزدی کیان، ل. (۱۳۸۶) چین خوردگی‌های چند مرحله‌ای و ساز و کار تشکیل آنها در تکتونیت‌های موجود در ساختار گنبدی منطقه آلمابولاغ (باختر همدان)، فصلنامه علوم زمین، سال ۷، ۱۱۶-۶۶.

مسعودی، ف.، جمشیدی‌بدر، م.، صالحی، ز.، (۱۳۸۶) کاربرد شواهد کانی‌شناسی و بافتی در تشخیص متاسوماتیسم آلکالن در استوک گرانیتوئیدی دوده‌ک (شمال شرق محلات). مجله بلورشناسی و کانی‌شناسی، شماره ۲، ۴۷۰-۴۵۳.

Ahmadi Khalaji, A., Esmaeily, D., Valizadeh, M.V. & Rahimpour-Bonab, H. (2007) Petrology and geochemistry of the granitoid complex of Boroujerd, Sanandaj-Sirjan Zone, Western Iran, Journal of Asian Earth Sciences Sci 29, 859-877.

Alavi, M., (1991) *Tectonic Map of the Middle East*. Scale 1:2900000, Geological Survey of Iran

Aliani, F., Maanijou, M., Sabouri, Z. & Sepahi, A.A. (2012) Petrology, geochemistry and geotectonic environment of the Alvand Intrusive Complex, Hamedan, Iran. *Journal for Chemical Problems of the Geosciences and Geoecology*, 72(4), 363-383.

Ashley, P.M., Conor, C.H.H. & Skirrow, R.G. (1998a) *Geology of the Olary Domain, Curnamona Province, South Australia*. Field Guidebook To Broken Hill Exploration Initiative Excursion 13-15 October 1998. Primary Industries and Resources South Australia, 53.

Ashley, P.M., Lottermoser, B.G. & Westaway, J.M., (1998b) Iron-informations and epigenetic ironstones in the Palaeoproterozoic Willyama Supergroup, Olary Domain, South Australia. *Mineralogy and Petrology*, 64(1-4), 187-218.

Bell, T.H. (2003) Early formed regional antiforms and synforms that fold younger matrix schistosities: their effect on sites of mineral growth. *Tectonophysics*, 367 (3-4), 253-278.

Cook, N.D.J. & Ashley, P.M. (1992) Meta-evaporite sequence, exhalative chemical sediments and associated rocks in the Proterozoic Willyama Supergroup, South Australia: implications for metallogenesis. *Precambrian Research*, 56 211-226, DOI:10.1016/0301-9268(92)90102.

Jamshidi Badr, M., Masoudi, F., Collins, A.S. & Cox, C. (2013) The U-Pb Age, Geochemistry and Tectonic Significance of Granitoids in the Soursat Complex,

نفوذ توده اسیدی این مجموعه همراه با فعالیت سیال‌های هیدروترمال بوده که باعث ایجاد متاسوماتیسم و دگرگونی فاز M3 که دگرگونی پسرونده می‌باشد، در منطقه شده است.

در اثر نفوذ توده اسیدی باعث اسکارن زایی و تشکیل معادن آهن در چند منطقه از این مجموعه شده است همچنین فایند متاسوماتیسم باعث تشکیل و فراوانی کانی‌های اپیدوت، کانی‌های اکسیدی کوارتز، هماتیت، مگنتیت و همچنین باعث آلتیزایی و ایجاد رگه‌های کوارتز و تورمالین هیدروترمال در منطقه شده است.

فاز دگرگونی D4 آخرین فاز دگرگونی در منطقه می‌باشد که باعث ایجاد انواع گسل‌های موازی و متقطع در واحدهای مختلف سنگی در شرایط شکنا شده است.

سنگ مادر سنگ‌های دگرگونی گویایی تشکیل آن‌ها در یک محیط رسوبی- آتشفسانی است که همزمان با بسته شدن نتوتیس دگرگونی و دگرگونی‌های منطقه رخ داده و در نهایت نفوذ توده اسیدی منطقه در یک محیط فرورانشی همانند سایر توده‌های نفوذی شمال غرب زون سنج- سیرجان تشکیل شده و باعث گبیدی شدن، اسکارن زایی و متاسوماتیسم منطقه شده است.

## منابع

اشراقی، س.، محمودی قرایی، م.، (۱۳۸۲) نقشه زمین‌شناسی تویسرکان، مقیاس ۱:۱۰۰۰۰، سازمان زمین‌شناسی و اکتشاف معدنی کشور.

توكلی، ح.، (۱۳۸۳) کانی‌شناسی، ژئوشیمی و خاستگاه کانسارهای آهن شمال غرب همدان، پایان‌نامه کارشناسی ارشد، دانشگاه تربیت مدرس، ۱۵۶ ص.

جمشیدی‌بدر، م.، احمدیان، ج.، شفیعی، ر.، (۱۳۹۲) شیمی کانی‌های فلدسپات در توده‌های نفوذی کمپلکس آلمابولاغ. اولین همایش زمین شیمی کاربردی، شهریورماه، دانشگاه دامغان.

حاج‌علی‌اوجلی، ر.، (۱۳۹۰) کانی شیمی و شرایط دما-فشار دگرگونی پسرونده در مرمرهای دولومیتی الیوین دار مجموعه دگرگون تکاب-شمال غرب ایران. مجله بلورشناسی و کانی‌شناسی ایران، سال نوزدهم، شماره ۴، ۶۱۵-۶۲۶.

Vernon, R.H., Collins, W.J, & Paterson, S.R. (1993) Pre foliation metamorphism in low- pressure/ high- temperature terrains. *Tectonophysics*, 219 (4), 241-56.

Waters, D.J. & Lovegrove, D.P., (2002) Assessing the extent of disequilibrium and overstepping of prograde metamorphic reactions in metapelites from the Bushveld Complex aureole, South Africa. *Journal of Metamorphic Geology*, 20 (1), 135-49.

Northwest Iran. *Turkish Journal of Earth Sciences*, 22 (1), 1-31.

Jamshidi Badr M., Masoudi F., Collins A.S. & Sorbi A., 2012, Mineralogical evidence for regional metamorphism overprinted by contact metamorphism. *Acta Geologica Sinica-English Edition*, 86 (1), 48-68.

Kent, A.J.R., Ashley, P.M. & Fanning, C.M. (2000) Metasomatic alteration associated with regional metamorphism: an example from the Willyama Supergroup, South Australia. *Lithos*, 54 (1), 33-62. Available from: doi:10.1016/S0024-4937(00)00021-9.

Kertz, R. (1983) Symbols for rock-forming minerals. *Mineralogical Society of America*, 68, 277-279.

Kruhl, J.H., & Peternell, M. (2001) Sutured grain boundaries of dynamically recrystallized quartz: Crystallographic orientation and temperature control. *Geological Society of Australia, Abstracts*, 64, 105.

Mehrabi, B., Mahmoudi, S., Masoudi, F. & Corfu, F., (2009) Mesozoic and Cenozoic U-Pb ages and magmatic history of granitoid bodies in the northern Sanandaj-Sirjan metamorphic zone, Iran. *The Geological Society of America Program and Abstracts*, 41 (7), 481.

Passchier C.W. & Trouw R.A.J. (2005) *Microtectonics* Springer, page 365.

Ruttner, A. & Stocklin, J. (1967) *Geological Map of Iran*. Scale 1:1000000, Geological Survey of Iran.

Shahbazi, H., Siebel, W., Pourmoafee, M., Ghorbani, M., Sepahi, A.A., Shang, C.J. & Voussoughi-Abedini, M. (2010) Geochemistry and U-Pb zircon geochronology of Alvand plutonic complex in Sanandaj-Sirjan Zone (Iran): New evidence for Jurassic magmatism. *Journal of Asian Earth Sciences*, 39, 668-683.

Skirrow, R.G. & Ashley, P.M. (1999) Cu-Au mineral systems and regional alteration, Curnamona Province. *AGSO Record*, 2000/10:83-86.

Valizadeh M.V. & Cantagrel J.M. (1975) Premières données radiométriques ( $K-Ar/Rb-Sr$ ) sur les micas du complexe magmatique du mont Alvand, près d Hamadan (Iran occidental), Comptes Rendus I, Académie des Sciences de Paris, 281, 1083-1086.